

ПЕРЕХОД ОТ РЕЖИМА СИЛЬНОЙ СВЯЗИ К РЕЖИМУ СЛАБОЙ СВЯЗИ ПРИ ПОНИЖЕНИИ T_c В СИСТЕМЕ $Tl_2Ba_2CuO_{6+x}$

О.М.Вяслев, Н.Н.Колесников, И.Ф.Щеголев

Институт физики твердого тела РАН

142432 Черноголовка Московская обл., Россия

Поступила в редакцию 7 апреля 1994 г.

С помощью ЯМР на ^{205}Tl в ориентированных образцах ВТСП системы $Tl_2Ba_2CuO_{6+x}$ с T_c от 115 до 30 К (x от 0 до 0,3) изучено влияние увеличения концентрации кислорода на параметры электронной системы в нормальном и сверхпроводящем состояниях. По температурным зависимостям скорости спин-решеточной релаксации и сдвига Найта ^{205}Tl проведено измерение сверхпроводящей щели. Обнаружено уменьшение отношения Δ/T_c с уменьшением T_c , что указывает на соответствующее ослабление связи при допировании кислородом.

1. Среди других высокотемпературных сверхпроводников система $Tl_2Ba_2CuO_{6+x}$ отличается тем, что изменения в небольших пределах концентрацию кислорода, можно сильно варьировать T_c , оставаясь в пределах одной и той же кристаллической фазы [1, 2]. Это дает возможность исследовать корреляцию между изменением критической температуры и изменениями других параметров электронной системы. В данной статье мы сообщаем о том, что уменьшение T_c от 115 до 30 К, связанное с изменением x от 0 до 0,3, сопровождается уменьшением отношения Δ/T_c от 2,8 до 1,3. Это свидетельствует о переходе от режима сильной связи к режиму слабой связи при уменьшении критической температуры в системе $Tl_2Ba_2CuO_{6+x}$.

2. Величина сверхпроводящей щели измерялась по температурным зависимостям скорости спин-решеточной релаксации и сдвига Найта ^{205}Tl в образцах $Tl_2Ba_2CuO_{6+x}$ с $T_c = 30, 100$ и 115 К при $T < T_c$ и направлении внешнего поля вдоль кристаллической плоскости (*ab*). В работе [3], посвященной исследованиям монокристаллов $Tl_2Ba_2CuO_{6+x}$, мы сообщали, что в случае, когда поле приложено вдоль оси *c*, анализ температурной зависимости сдвига линии ЯМР оказывается затруднительным из-за сильного эффекта Мейсснера, который накладывается на естественное вымерзание сдвига Найта при $T < T_c$, а также из-за присутствия значительной доли нормальной фазы в корах вихрей. В ориентации $H \parallel (ab)$ эти эффекты проявляются в меньшей степени благодаря меньшим значениям H_{c1} и размера кора. Однако при исследовании монокристаллических образцов в этой ориентации диапазон $T < T_c$ оказался труднодоступным для измерений вследствие существенного ослабления сигнала, происходящего, видимо, из-за сильного скин-эффекта. Поэтому надежные данные в [3] для этой области ($H \parallel (ab)$, $T < T_c$) были получены только для монокристалла с $T_c = 115$ К.

В настоящей работе в качестве образцов использовались измельченные монокристаллы $Tl_2Ba_2CuO_{6+x}$ с $T_c = 30$ и 100 К, перемешанные с эпоксидной смолой Stycast 1266 и сориентированные в поле 7 Тл. Данные для монокристалла с $T_c = 115$ К взяты из работы [3], где также описана процедура выращивания кристаллов. Как показано в работе [2], кристаллу с $T_c = 115$ К соответствует значение $x = 0$, а при $T_c = 30$ К $x = 0,3$. В экспериментах

использовался импульсный ЯМР спектрометр Bruker MSL-300 с применением стандартных методик типа "спиновое эхо" и "насыщение–восстановление". Типичные длительности 90-градусного импульса составляли $1,3 \div 1,7$ мкс. Измерения при $T < T_c$ проводились в режиме охлаждения в поле.

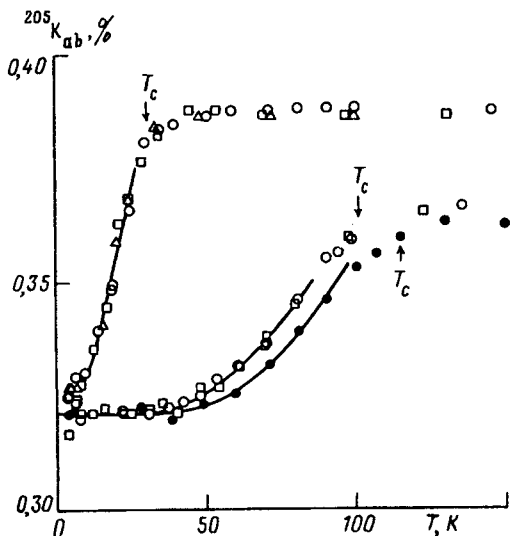


Рис.1. Температурные зависимости сдвига Найта ^{205}Tl , K_{ab} , в ориентации $H \parallel (ab)$. Светлые символы соответствуют ориентированным порошкообразным образцам ($T_c = 30$ и 100 K) в полях $1,78\text{ Tl}$ (Δ), $3,58\text{ Tl}$ (\square) и $7,05\text{ Tl}$ (\circ); \bullet – монокристалл с $T_c = 115\text{ K}$ в поле $7,05\text{ Tl}$. Сплошные линии – аппроксимации по формуле $K_{ab} = K_{ab}^L + a \exp(-\Delta/T)$ со значениями $\Delta/T_c = 1,4, 2,3$ и $2,6$ (в порядке возрастания T_c)

3. На рис.1 показаны температурные зависимости сдвига Найта K_{ab} для трех исследуемых образцов, снятые в полях $1,78$, $3,58$ и $7,05$ Тл. При $T > T_c$ сдвиг Найта не зависит от температуры, а при охлаждении ниже T_c быстро уменьшается. Как видно из рис.1, поведение K_{ab} при $T < T_c$ не зависит от значения приложенного магнитного поля. Это показывает, во-первых, что изменение частоты ЯМР при переходе в сверхпроводящее состояние не связано с мейсснеровским выталкиванием, и уменьшение K_{ab} происходит из-за уменьшения плотности состояний на поверхности Ферми [4]. Во-вторых, из этого следует, что доля нормальной фазы в сверхпроводящем состоянии (из-за наличия вихрей) пренебрежимо мала, так как в противном случае мы имели бы линейный по полю (и существенно различающийся для образцов с различными T_c) сдвиг линии при $T \rightarrow 0$. Следует полагать поэтому, что остаточная величина $K_{ab}(T = 4,2\text{ K}) \approx 0,323\%$ является температурно-независимой орбитальной частью сдвига Найта K_{ab}^L , которая, в пределах экспериментальной ошибки, одинакова для всех образцов.

При $T > T_c$ спиновая часть сдвига Найта K^s , отсчитанная от величины $K_{ab}^L = K_{ab}(4,2\text{ K})$, возрастает при уменьшении T_c от 115 до 30 K в $\approx 1,7$ раза, что говорит о соответствующем увеличении плотности электронных состояний при допировании кислородом. В области $T < T_c$ экспериментальные точки хорошо описываются формулой $K_{ab} = K_{ab}^L + a \exp(-\Delta/T)$, отражающей вымерзание K^s при переходе в сверхпроводящее состояние [4]. Полученная отсюда величина Δ/T_c уменьшается с уменьшением T_c : $\Delta/T_c = 2,6$ ($T_c = 115\text{ K}$), $2,3$ ($T_c = 100\text{ K}$) и $1,4$ ($T_c = 30\text{ K}$).

Как видно из рис.1, величина остаточного сдвига $K_{ab}(4,2\text{ K})$ у образца с $T_c = 30\text{ K}$ несколько больше, чем у двух других. Ненулевой остаточный сдвиг, в принципе, может возникнуть в случае спаривания с параметром порядка не s -типа из-за нулей сверхпроводящей щели на поверхности Ферми. Дей-

ствительно, поскольку спиновая часть сдвига Найта у "30-градусного" образца больше, то он имел бы и больший K^s при $T \rightarrow 0$. Однако различие между значениями $K_{ab}(4,2\text{ K})$ для разных образцов лежит на границе экспериментальной точности, поэтому наши данные не позволяют сделать определенного заключения об отличии симметрии параметра порядка от s -типа.

4. На рис.2 в полулогарифмическом масштабе показаны зависимости величины $(T_1 T)_{T=T_c}/(T_1 T)$, где T_1^{-1} – скорость спин-решеточной релаксации ^{205}Tl , от нормированной обратной температуры T_c/T . Как сообщалось ранее [3], в нормальном состоянии образцы с различными T_c не обнаруживают принципиальной разницы в поведении T_1^{-1} . Ниже T_c , в интервале $T_c > T > T_c/2$, как видно из рис.2, наблюдается щелевое поведение скорости релаксации типа $(T_1 T)^{-1} \propto \exp(-\Delta/T)$ [5]. Полученные при аппроксимации этих участков по приведенной формуле значения Δ/T_c составляют 3,0, 2,5 и 1,1 для образцов с $T_c = 115, 100$ и 30 K , соответственно. Некоторое отличие этих величин от значений Δ/T_c , измеренных по температурным зависимостям сдвига Найта (рис.1), объясняется, скорее всего, недостаточной точностью использованных для аппроксимации простых формул.

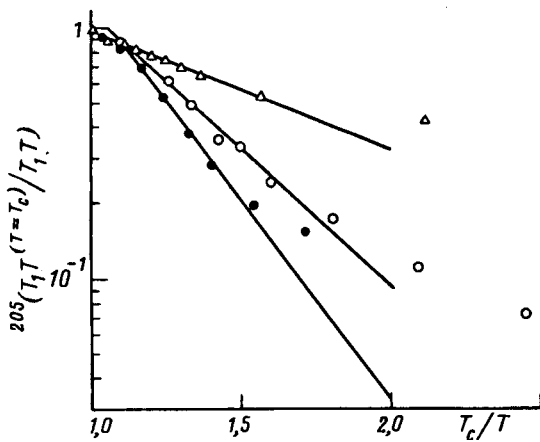


Рис.2

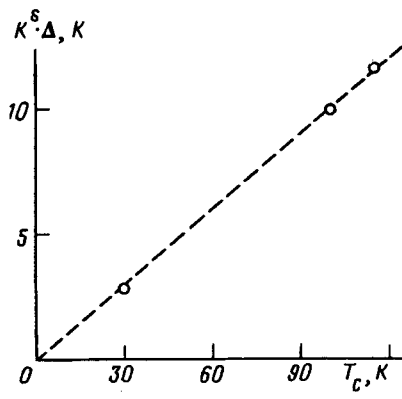


Рис.3

Рис.2. Нормированное произведение $^{205}(T_1 T)^{-1}$ в зависимости от нормированной обратной температуры в поле 7,05 Тл ($H \parallel (ab)$). Символы Δ , \circ и \bullet соответствуют $T_c = 30, 100$ и 115 K . Сплошные линии – аппроксимации по формуле $(T_1 T)^{-1} \propto \exp(-\Delta/T)$ со значениями $\Delta/T_c = 1, 1; 2, 5$ и $3, 0$ (в порядке возрастания T_c)

Рис.3. Произведение спиновой части сдвига Найта K^s на величину щели Δ в зависимости от T_c

При $T < T_c/2$ наблюдается отклонение поведения T_1^{-1} от экспоненциального (рис.2). По-видимому, это связано с влиянием иных механизмов релаксации, что подтверждается измерениями полевых зависимостей T_1^{-1} [6]. Более подробный анализ поведения T_1^{-1} в этой области опубликован в [7].

5. В работах по измерению величины сверхпроводящей щели, проводимых различными методами на всевозможных образцах ВТСП [8], в том числе на $\text{YBa}_2\text{Cu}_3\text{O}_x$ с $6 < x < 7$ [9], сообщалось, как правило, о значениях $\Delta/T_c = 2, 5 \div 3, 5$, без какой-либо заметной корреляции этой величины с T_c . Наши результаты показывают, что в передопированной системе $\text{Tl}_2\text{Ba}_2\text{CuO}_{6+x}$

рост числа носителей из-за увеличения содержания кислорода приводит к уменьшению не только T_c , но и отношения Δ/T_c . Это может рассматриваться как свидетельство перехода от режима сильной связи к случаю слабой связи, происходящего в рамках одного и того же соединения. Если предположить фононный механизм спаривания и воспользоваться выражением для Δ/T_c [10]:

$$\Delta/T_c = 1,76 \{1 + 5,3(T_c/\Omega)^2 \ln(\Omega/T_c)\},$$

где Ω – характеристическая частота фононного спектра, то для аппроксимации измеренных значений Δ/T_c , получим величину $\Omega = 320$ К. Отсюда из соотношения между T_c и константой электрон-фононного взаимодействия λ [11]:

$$T_c = 0,25\Omega \{\exp(2/\lambda) - 1\}^{-1/2},$$

можно получить значения $\lambda = 0,96, 4$ и 5 для $T_c = 30, 100$ и 115 К.

Наши результаты не противоречат также расчетам, проведенным в [12] для "недодопированных" $\text{La}_{1,85}\text{Sr}_{0,15}\text{CuO}_4$ ($T_c = 40$ К) и $\text{YBa}_2\text{Cu}_3\text{O}_{6,63}$ ($T_c = 60$ К), а также для $\text{YBa}_2\text{Cu}_3\text{O}_7$ ($T_c = 95$ К). Используя модель механизма спаривания через антиферромагнитные флуктуации, авторы показали, что увеличение степени додирования приводит к уменьшению отношения Δ/T_c (от 4,3 для LSCO до 2,9 для $\text{YBa}_2\text{Cu}_3\text{O}_7$), в то время как константа связи растет с T_c .

Любопытно также обратить внимание на зависимость произведений спиновой части сдвига Найта на величину сверхпроводящей щели, $K^S\Delta$, от T_c , показанную на рис.3. Видно, что соотношение $K^S\Delta \propto T_c$ выполняется достаточно хорошо.

Авторы признательны А.В.Ивановой и В.А.Аксюку за помощь в измерениях и оформлении работы. Данная работа поддерживается Международным Научным Фондом, а также Научным Советом по ВТСП, и выполнена в рамках проекта №90509 Государственной программы "Высокотемпературная сверхпроводимость".

1. K.V.Ramanujachari, S.Li, and M.Greenblatt, *Physica C* **165**, 384 (1990).
2. N.N.Kolesnikov, V.E.Korotkov, M.P.Kulakov et al., *Physica C* **195**, 219 (1992); N.N.Kolesnikov, V.I.Simonov, R.P.Shibaeva et al., в печати.
3. O.M.Vyaselev, N.N.Kolesnikov, M.P.Kulakov, and I.F.Schegolev, *Physica C* **199**, 50 (1992).
4. K.Yoshida, *Phys. Rev.* **110**, 769 (1958).
5. D.E.MacLaughlin, in *Sol. St. Phys.*, ed. by H.Ehrenreich, F.Seiz, and D.Turnbull **31**, 15 (1976).
6. L.N.Bulaevskii, I.F.Shevolev, and O.M.Vyaselev, *Phys. Rev. Lett.* **71**, 1891 (1993).
7. И.Ф.Щеголев, Н.Н.Колесников, О.М.Вяслев (в печати).
8. J.S.Tsai, I.Takeuchi, Y.Shimakawa et al., *Physica C* **162-164**, 1133 (1989); A.A.Maksimov, I.I.Tartakovskii, and V.B.Timofeev, *Physica C* **162-164**, 1243 (1989); T.Ekino et al., *Physica C* **218**, 387 (1993).
9. I.V.Aleksandrov, A.F.Goncharov, I.N.Makarenko et al., *Physica C* **162-164**, 1057 (1989).
10. Б.Т.Гейликман, В.З.Кресин, *ФТТ* **7**, 3294 (1965).
11. V.Z.Kresin, *Phys. Lett.* **122**, 434 (1987).
12. P.Monthoux, A.V.Balatsky, and D.Pines, *Phys. Rev. Lett.* **67**, 3448 (1991).